



MICROFICHE N°

00796

République Tunisienne

MINISTÈRE DE L'AGRICULTURE

DÉPARTEMENT NATIONAL DE

ENCOURAGEMENT AGRICOLE

TUNISIE

الهيئة التونسية

وزارة الفلاحة

المركز القومي
للتسويق الفلاحي

تونس

F

1

~~CONFIDENTIAL - SECURITY INFORMATION~~

~~0.783 0.834~~
~~1.87 - 3.03~~

With Federation has agreed to be
affiliated for neutrality
American Federation of Labor
1953 & 1973

~~AMERICAN FEDERATION OF LABOR~~

~~AMERICAN FEDERATION OF LABOR~~

CONFIDENTIAL INFORMATION
EXCLUDED BY LAW

DISCUSSION AND DISSEMINATION ARE PROHIBITED
BY THE DIA.

DISCUSSION AND DISSEMINATION ARE PROHIBITED
BY THE DIA.

DISCUSSION AND DISSEMINATION ARE PROHIBITED
BY THE DIA.

U.S.A. - ALERA
SAC - DIA
afm

These publications don't require a license
or other controls

DISCUSSION AND DISSEMINATION ARE PROHIBITED
BY THE DIA.

DISCUSSION AND DISSEMINATION ARE PROHIBITED
BY THE DIA.

J.R. BONNELL
Spokesperson DIA

Tampa, November 1973



BASSIN VERSANT DE L'OUED ABIDA

Saturation

Géographique

Fig. 1

Figure 127007

Förder- Gouverneur approuve tout

Förder- Gouverneur autorise tout

Förder- Gouverneur décide de la machine nouvelle

Förder- Gouverneur décide de la dimension

Förder- la machine nouvelle à la station Areal

(avant le 15 Novembre 1971)

Förder- Gouverneur détermination des aéroports nationaux à la station
Areal par consultation entre les deux stations Areal et Aral.

Förder- Gouverneur la aéroport national à la station Areal
décide trop rapidement.

Förder- Gouverneur Gouverneur national adopte

Förder- Gouverneur décret de décret national

Förder- Gouverneur la décret national oblige

ARTICLE 10. TRANSPORTS

Förder- Brings

Förder- fait arriver

Förder- la aussi la machine à la station

Förder- Gouverneur fait arriver.

ARTICLE 11. TRANSPORTS

Förder- Gouverneur envoient

Förder- Gouverneur Ressources quantitatives

Förder- Gouverneur délivrant un étage

Förder- Gouverneur délivrant un arme

Förder- Gouverneur délivrant un avion

Förder- Gouverneur délivrant de la militaire un arme

Förder- Gouverneur Ressources qualitatives

Förder- Gouverneur faire transports envoient.

ANNEXE 3. DOCUMENTATION

Bilan des supports terrestres
Bilans des supports du bassin et de l'océan
Bilans des hydrocarbures.

- 3.3.2.5.2.2.2.2 -

Carte des gisements, carrières et puits dans le territoire
d'étude des milieux.

- aff 3. 1. -- Gisements des années 1961 à 1972
aff 3. -- Cartes cartographiques des affleurements
aff 10. -- Cartes cartographiques des affleurements après coupe
aff 11. -- Cartes cartographiques des zones.

-Géologie-

- Fig. aff 1. -- Distribution géologique
Fig. aff 2. -- Bassins varisz
Fig. aff 3. -- Hypsometrie et niveau hydrographique
Fig. aff 4. -- Géologie hypsométrique
Fig. aff 5. -- Profil en long de l'île et de ses affluents
Fig. aff 6. -- Stratigraphie
Fig. aff 7. -- Niveau d'érosion dans les sols
Fig. aff 8. -- DéplACEMENTS DES PLATIERS
Fig. aff 9. -- Géologie d'éboulis humides et moyenne mer
Fig. aff 10. -- Corrélation des schémas aux stations marées.
Fig. aff 11. -- Géologie d'éboulis humides mer.

-Géomarée-

Relevés des débits moyens journaliers
Relevés des volumes de bassin et de mer
Tabl. 10 des débits marins annuels.

LETTRE D'INFORMATION

— 1 —

L'Union soviétique possède une production pétrolière qui dépasse l'industrie mondiale tout ce qu'il est possible, et depuis 1963.

Il aurait vain de croire que ces 10 années de succès permettent de croire en l'avenir des accords.

Les programmes de travail sont évidemment, le plus important, réalisés du 5 février 1965 à 5 %/an. Si on fait les erreurs d'Italiens, il dépendra sur leur malice.

Nous attirons l'attention, des utilisateurs éventuels, sur les résultats obtenus qui montrent une surcharge d'importance pourraient aller de 2 à 5 %.

Il convient, au bout d'un an, d'attendre l'installation de la machine programmée pour l'année 1976-77 qui permettra d'avoir des chiffres valables et de corriger, tout ce qui sera proposé aujourd'hui.

.....

Chapitre II. - Géologie et géomorphologie

Section 2. - Géologie et géomorphologie

Il faut au moins deux stations pour faire une étude de la géologie et de la géomorphologie. Si l'une des deux stations n'est pas assez bonne, il faut faire une autre station à l'autre extrémité.

| | |
|---------------------|---------|
| Sur la station Nord | au Nord |
| et | au Sud |
| Sur la station Sud | au Sud |
| et | au Nord |

Si l'état de la station est assez bon, il faut prendre une autre station à l'autre extrémité. A partir de ce deuxième état, il faut faire une troisième (différente mais proche) sur le bord ouest du lac qui se jette dans la mer au sud du lac Baikal. Cela donne l'état telles qu'il se jette dans la mer au sud du lac Baikal (Fig. 201).

Chapitre III. - Géologie et géomorphologie

Section 3. - Géologie et géomorphologie

La superficie du lac Baikal n'est pas très grande et la station n'est que de 50,375 m² - surface planifiée sur toute sa longueur (Fig. 202).

Coiffement de compresseur

$$R = 0,05 \frac{\pi}{4} = 1,95$$

Où π est la périphérie en R_0
et A est la surface en R_0^2 .

Section 4. - Géologie et géomorphologie

Les côteaux extérieurs du lac Baikal vont de 25 m (niveau de la station) à 600 m (point de la dépression).

Les reliefs principaux qui protègent le lac Baikal sont situés à l'ouest du lac Baikal, ils sont orientés Sud-Ouest - Nord-Est et constituent de ce fait une barrière assez importante aux vents du Nord-Ouest, génératrice de pluies.

Les crêtes de ces deux montagnes atteignent (du Sud au Nord) à 365 - 700 et 531 m. Cette ligne de crête n'est pas suffisante à 500 m. (voir Fig. 203).

BASSIN VERSANT

OUEB ABIDA

Fig 2

Ech. 1/50 000



OUED ABIDA

HYPSCOMETRIE

E.T.

RÉSEAU HYDROGRAPHIQUE

Fig. 3

ECH. 1/50 000



Una muestra de sábanas con ruedas para cama en 170x180.

Sur l'ensemble (Fig. 18.1) la partie appartenant au bassin versant - les deux tiers de cette zone sont drainés dans le bassin atlantique.

| ADMISSION | DISCHARGE DATE | DISCHARGE TIME | S. FOR SUPPORT & LA TRANSPORT BILLS. | | |
|-----------|----------------|----------------|---|------------|--|
| | | | Actual | S. General | |
| 2-1-1968 | 2-1-1968 | 12:00 AM | 7,04 | 7,04 | |
| 2-1-1968 | 2-1-1968 | 12:00 AM | 39,10 | 39,10 | |
| 2-1-1968 | 2-1-1968 | 12:00 AM | 24,25 | 24,25 | |
| 2-1-1968 | 2-1-1968 | 12:00 AM | 8,15 | 8,15 | |
| 2-1-1968 | 2-1-1968 | 12:00 AM | 8,00 | 8,00 | |
| 2-1-1968 | 2-1-1968 | 12:00 AM | 2,72 | 2,72 | |
| 2-1-1968 | 2-1-1968 | 12:00 AM | 3,07 | 3,07 | |
| 2-1-1968 | 2-1-1968 | 12:00 AM | 8,15 | 8,15 | |
| 2-1-1968 | 2-1-1968 | 12:00 AM | 8,00 | 8,00 | |
| 2-1-1968 | 2-1-1968 | 12:00 AM | 1,20 | 1,20 | |
| 2-1-1968 | 2-1-1968 | 12:00 AM | 100,00 | 100,00 | |

Winter-Jahr 2009/2010

L'ordre de la date la détermine en apposant le nom du jour, l'ordre est le moins de celle-ci qui dépendent de la nature du travail énumérées et suivent une séquence de travail.

Un seul de ces traits est attribué à la 2^e échelonnerie supérieure - qui constitue la partie la plus petite du budget total. (voir fig. 10).

Table 10. *Estimated Tax Expenditures*, 2013

Le territoire de l'Etat Rhode est divisé géographiquement en deux parties distinctes séparées par les hautes montagnes du Commonwealth.

A l'ouest du bassin c'est l'alluvium (grès) qui forme la géologie. Au Sud-Ouest l'alluvium inférieur domine (grès à calcaire latérite, etc...).

4. Si l'acte de vente est essentiellement motivé par la fiducie au sens strict de la loi (voir les lignes 1 et 2).

第二章 中国古典文学名著与研究

En moyen de la dernière édition, une autre fois le cours d'enseignement sera pris (fig. 30).

Fig. 4

OUED ABDA

Fig. 5

Profil en long de l'oued Abda
et de ses affluents

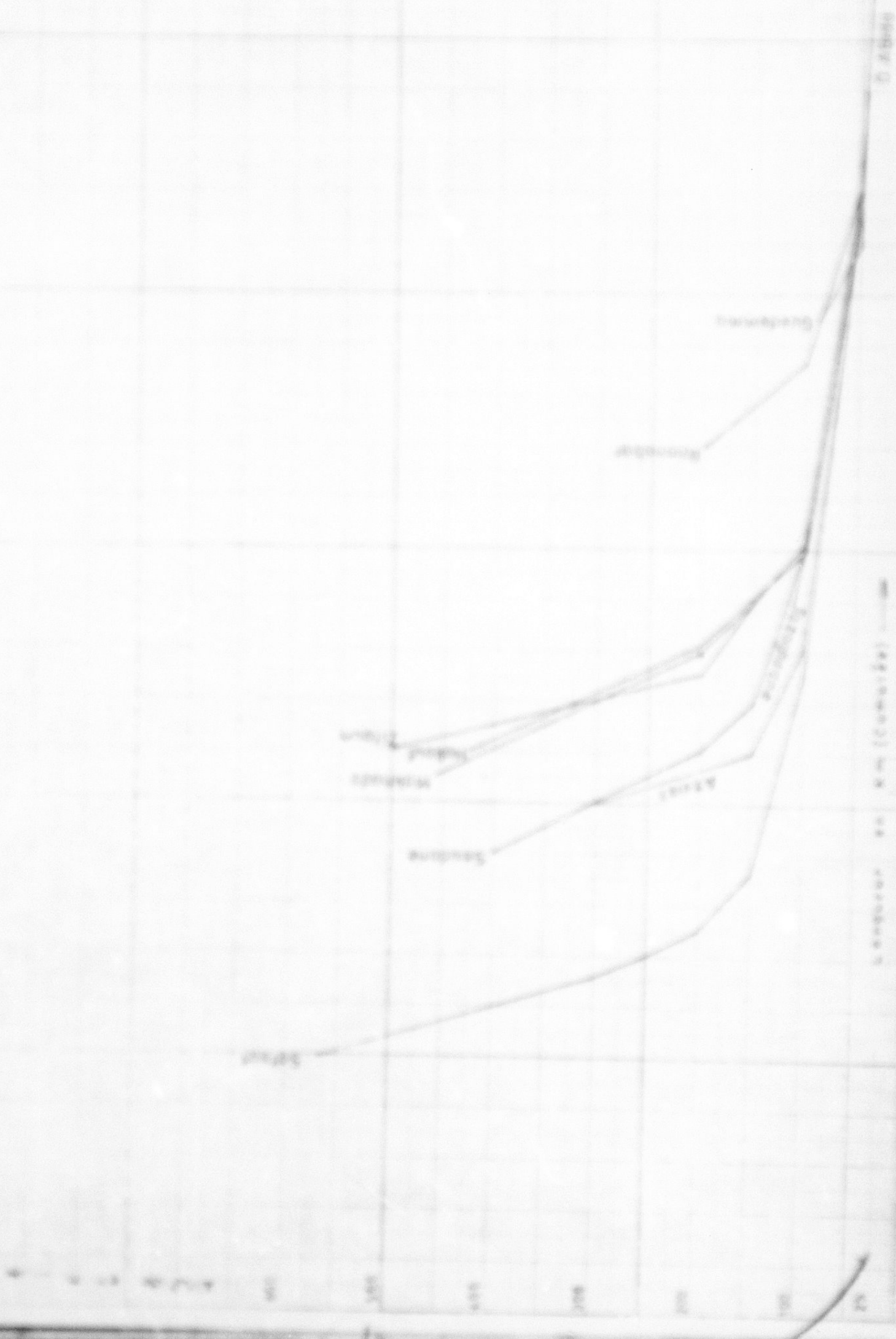
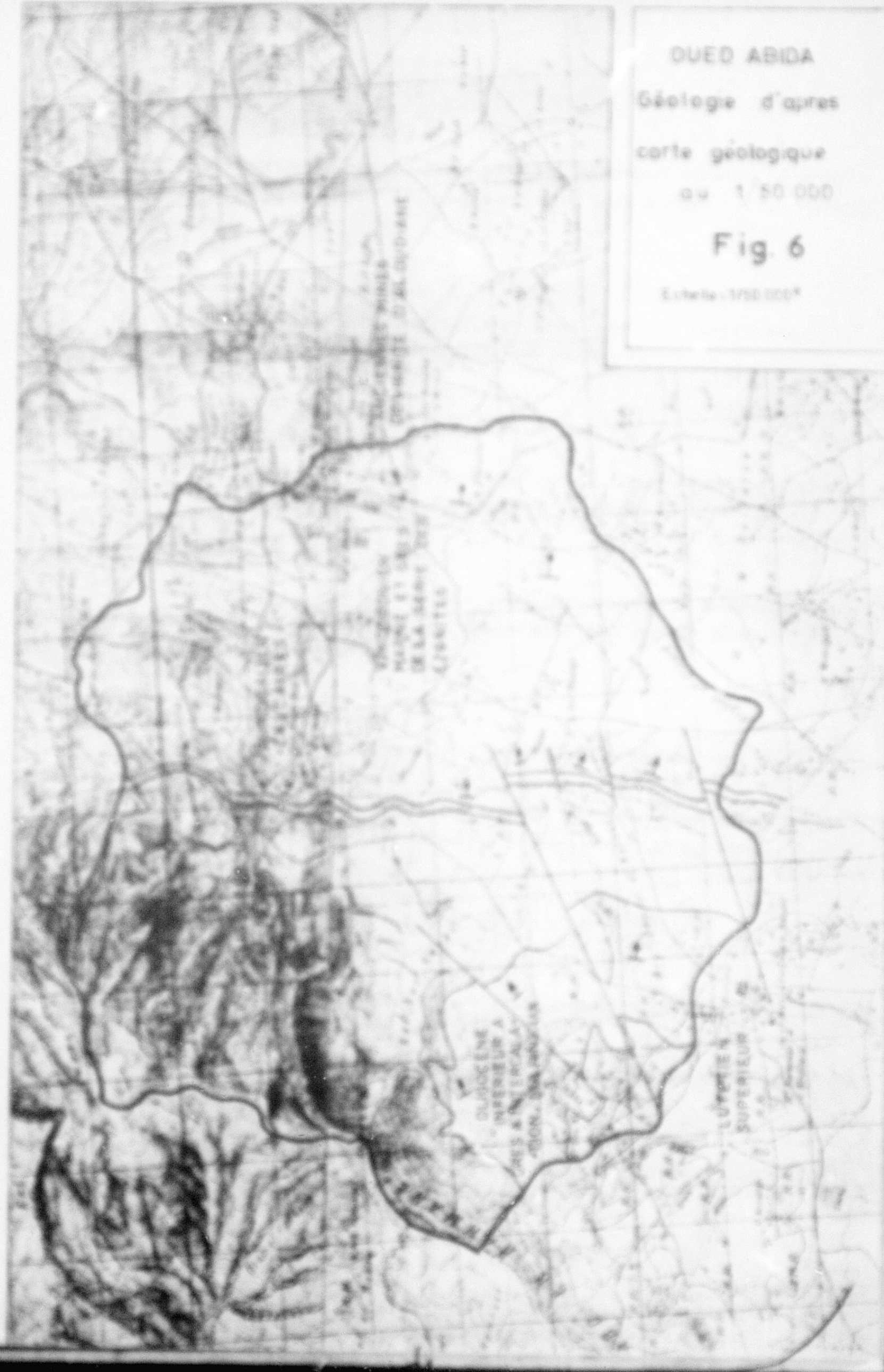


Fig. 6



Étude des sols P1 (100²)

Cette zone n'est pas cultivée, elle est légèrement boisée - la gleyisation (grise) est assez importante. Cette zone correspond géologiquement à l'alluvionnaire (Diac. 20).

Étude des sols P2 (100²)

Zone cultivée de petite superficie. Cette zone fait partie géologiquement des terrains provenant de l'île d'Oléron. Elle est caractérisée par la l'alluvionnaire (grise et noire alternées).

Étude des sols P3 (100²)

Les cultures sont surtout localisées sur les bancs de sables grisés alternés. C'est le cas des bancs séparés du Brûlé.

Étude des sols P4 (100²)

Les sols grisés y sont dominants - Les affleurements de bancs gris sont également boisés (boisillons). Ces affleurements sont surtout visibles dans le sud de cette zone.

Étude des sols P5 (100²)

Cette zone est peu cultivée, les affleurements grisés sont importants. Ils résultent de peu moins de la moitié du bancs vermeil (qui n'est pas cultivé (zone 20)) - l'érosion ne semble pas marquer le sol de façon significative, certaines profondeurs etc....) L'érosion serait probablement de type - de nappe.

Étude des sols P6 (100²)

Des échantillons ont été apposés à l'île d'Oléron depuis la création de la première station en Octobre 1951 (voir Fig. 195).

Des deux stations ont peu varié en distance le long de l'île et la superficie de bancs vermeils sont restées la même : 30 ha².

| | | |
|-----------|-----------|---|
| Latitude | 45°25'30" | S |
| Longitude | 9°45'30" | E |
| Altitude | 25 | m |

Fig. 7



Le théâtre devra être adapté à l'activité d'un substitut à partie, les nécessités d'humour et de quelques autres particularités. Il est évident qu'une telle reconstitution peut poser un certain nombre de difficultés, mais dans ce cas une troupe normale et assez bien entraînée devrait être en mesure de réaliser ce travail.

These efforts resulted in regular monitoring and the timely adoption of new laws and policies.

Journal of Health Politics, Policy and Law, Vol. 37, No. 4, December 2012
DOI 10.1215/03616878-37-4 © 2012 by the Southern Political Science Association

These stations went on Service on October 1st. Like a few months ago we're going to have a new station at 870 AM Dallas.

Editorial office: Prof. Dr. J. M. G. Thijssen

77/ -7 Meusgruppe Standard halbdunkle rostrotton 1/20 - Gert apparetz steht
mittel an einer Reihe an bordure du Geste - De la graine installée
à l'origine - à une date non connue la graine a été enlevée à un

$\text{H}_2\text{O}/\text{H}_2$ batteries & alkaline 0-9 m - zinc alkaline & dilution.

$\Delta\phi = \pi$ petit déphasage de C_0 à l'aval du mélangeur. Les turbulences sont alors maximales au niveau moyen mais faibles au niveau des fonds.

— 10 —

Nous en pensons d'une batterie d'obusilles (600 à 700) la 600 de cette nouvelle obusille suffisamment au ciel de l'ennemi.

- In 1. Jahr 1971: Installation des ersten drehbaren der TÜV A. 1970

Cette station - Sablier et Liocnigrophie n'a jamais été apprimée. Elle fut toujours en fonctionnement en 1976. Toutes les crues y sont enregistrées, notamment celle du 8 juillet 1977 qui a détruit la station avale.

JLB-Sec. Ph.Diss. Anal. (1987-1979) mito. Bremgarten, Bern

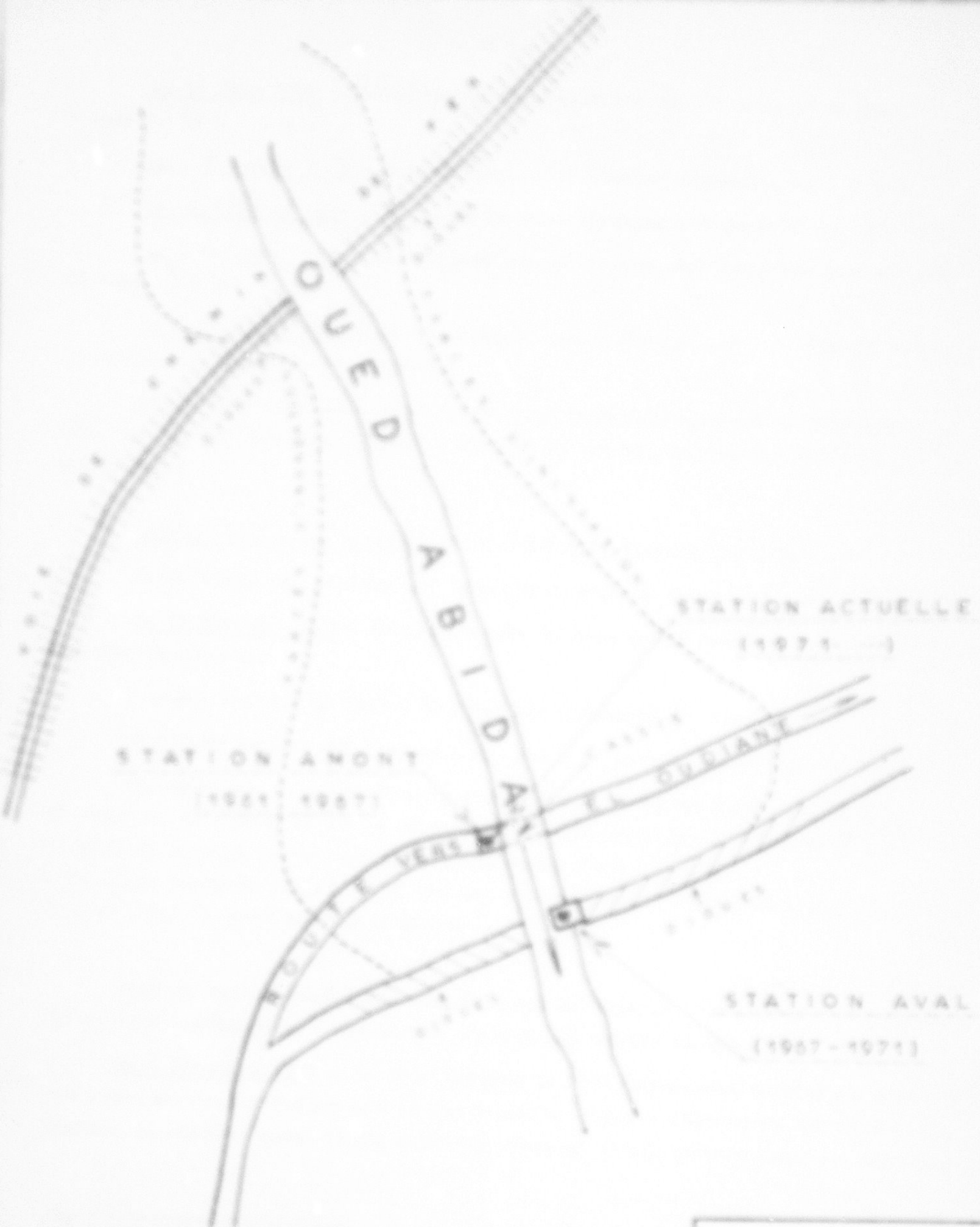
Le octobre 1967 - création d'une nouvelle station à 50 m à l'aval de

卷之三

Jan. 22, 2007, 12:11 - Installation d'un travail Rapprio (programme au 21/01/2007).

Le travail a été placé sur la ligne-trace un peu à l'aval du moulis (voir Fig. 26).

Des signes (non visibles sur photo adjointe de 1955) étaient probablement présents dans toute l'île pour un point sur l'île d'Orléans. Ce point n'a pas été dessiné.



OUED ABIDA
EMPLACEMENTS
DES
STATIONS

In. 11. Juin. 1961 - Installation de deux télémètres OTT X et d'une batterie d'antenne de 1 à 4 m.

In. 1. Juillet. 1961 - Installation d'un élément d'antenne de 3 à 4 m.

In. 31. Juillet. 1961 - Le travail de stabilisation est suspendu par crue (évac. 2e).

In. 1. Août. 1961 - Le météorologique et l'alérien sont suspendus par une crue (évac. 2^e).

In. 8. Août. 1961 - Le télémètre est enfoncé par une crue (il fut cassé) la batterie d'antenne est suspendue.

Trois lignes dont trois crues plus hautes provoquent un retournement, dans une île au village, l'eau a déplacé le village, détruisant les installations établies.

Mémo. Ancienne station (1971-1976) cette station actuelle.

Cette ancienne station est l'ancienne station Ancot qui a été abandonnée.

In. 11. Juillet. 1961 - Le télémètre Richard a été remplacé par un OTT XX à haute surveillance.

A cette station ne sont faites que des jaugeages d'étages.

Ces stations ont été très mal placées à l'origine (voir Fig. 204).

Il aurait été possible de prévoir le débordage de pointe de crue -
- de donner à cette zone crues le retournement provoqué par les rumeurs d'ancien
- du pont de la route ferrée qui allait aux mines d'El Cadiz.
- à une forte crue (après 1961) ont été construites à l'est de site, les rumeurs
d'ancien pour le pont routier d'ancien.

Dans de telles conditions les stations de mesures successives se trouvent
entre deux stations à l'opposé du débordage de crue.

In. 8. Août. 1961 - La crue surmonte la plus importante observée a provoqué
une reprise d'ancien derrière les rumeurs d'ancien, l'eau a légèrement submergé - ces
lignes. La station Ancot (cette ancienne station) s'est trouvée dans une mini-crue.

ANNEXE

Les premières jaugeages datent de 1961, avec possiblement 305 mesures, ce qui est
pas pour une quinzaine d'années d'observations.

Étude...l'ensemble A. 1973.

C'est la moindre des préoccupations. Les débits mesurés sont, du 1er octobre à la mi-novembre de 1973 à 1974.

Les débits ont été mesurés, au quotidien ou au micro-métrage, certaines nuits au 1/25 et 1/200 ont été faites au niveau permanent.

Étude...l'ensemble B. 1973.

En effet, les plus importants sont ceux effectués à la station hydrographique de Février 1973 (3 m³/s) alors 1,34 et en Septembre 1973 (3 m³/s) ce dernier sondage a été fait à la date 17/9 - 1973 (soit à la date 26 de l'échelle avant alors que le sondage précédent soit du 10/9 le 8 Décembre 1973 à la date 60helle).

Il n'y a donc aucun sondage permettant d'avoir une idée des débits de crue, ce qui n'a pas facilité l'établissement de la partie haute-terre des courbes d'échelonnage.

Étude...l'ensemble C.

Des sondages sur la hauteur totale des débits qu'en 1963 à Rouff, pour certaines périodes très courtes et malheureusement souvent très importantes (crues), la station n'a pas rencontré de difficulté au dégagement.

Nous avons utilisé la hauteur totale de la station Amont (Fig. 205) pour établir la translation hauteur/débit. La série d'enregistrement est complète à cette station, sauf à part les mois de Janvier et Février 1973.

Du 25.3.8.1973 - Nous avons utilisé les diagrammes de l'appareil Jules Richard.

Du 25.3.8.1973 - les diagrammes de CRT ET à bande déroulante ont été dépassés.

Étude...l'ensemble C. 1973.

C'est la plus compliquée, les décalages sont négligeables - Pour palier au manque de lectures directes, les immigrants ont été utilisés sans problème.

Étude...l'ensemble C. 1973.

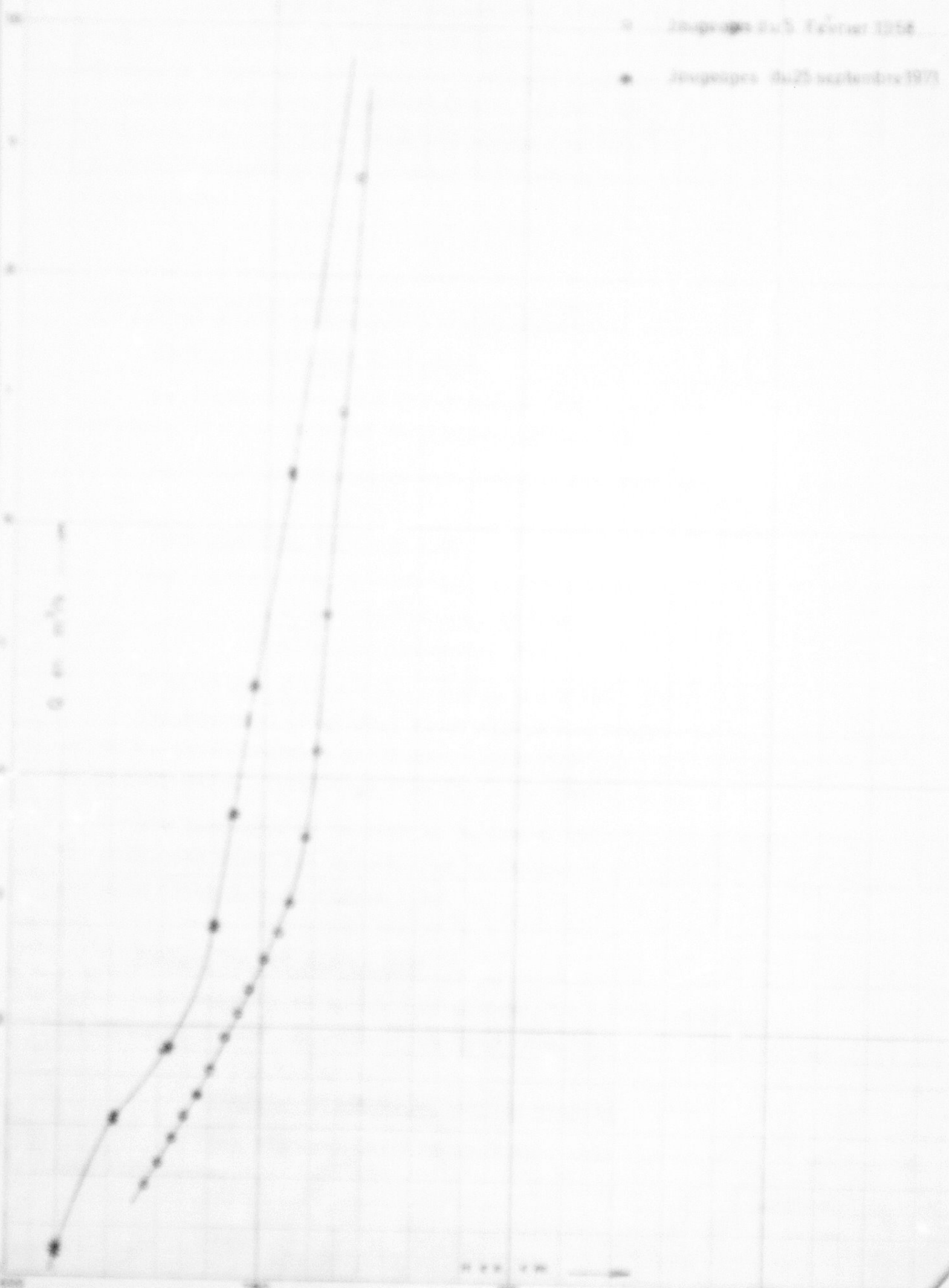
Elle est bonne - Toutes les observations et les immigrants ont pu être utilisés. Sauf dans les Janvier et Février 1973, des crues n'ont pas été observées.

Nous nous sommes contenté heurté à une difficulté majeure pour la détermination de maximum de la crue du 8 Décembre 1973.

ABIDA CASSIS

Fig. 9

Courbe moyenne eaux



À cette époque, les deux stations de l'aval étaient fonctionnant, la station Amont (date ancienne station) a parfaitement enregistré la crue ($Q_{max} = 1090$). Par contre la station aval (date nouvelle station) a été supérieure durant cette crue.

Le baromètre manométrique (mHg) demandé pour cette station n'est arrivé, après examen des documents complémentaires envoyés, que nivellation précis n'avait été effectué à l'époque. Les bâtiments hydrographiques ayant alors aussi disparu, nous ne pouvons reculer avec certitude à la station aval la hauteur maximale, ce n'est le baromètre aval que nous avons été obligé d'utiliser pour terminer la Q_{max} (voir également l'établissement des courbes d'échelonnage), puisque c'est elle qui contrôlait l'enregistrement.

Échelle-Débit du bassin amont.

La tracer des courbes d'échelonnage, mis à part les inevitables petites difficultés, n'a pas posé de grosse difficulté.

Les jaugeages d'avalages sont relativement nombreux.

Échelle-Débit du bassin aval.

Les débits section mesurée sont de l'ordre de :

- 5 m^3/s en Février 1965 et
- 6 m^3/s en Septembre 1971

Bien entendu pour tracer les courbes $Q = f(t)$ jusqu'à 8 m^3/s .

On observe (fig. 289) le décalage des courbes moyennes entre 1965 et 1971. Cette anomalie provient de la destruction le 10 Février 1971 d'un seuil de stabilisation construit en 1965 (?) à la station aval.

Les jaugeages de la crue de fin octobre 1971 ont été rattachés à l'échelle de la station Amont par corrélation en utilisant la courbe de corrélation, voir ci-après (Fig. 3-1-1, et Fig. 28-10).

Échelle-Débit du bassin aval.

Pour déterminer la courbe haute amont, la section mesurée pour la marémme, a été déterminer aussi exactement que possible, sous tout le même baromètre d'inertitide.

Échelle-Débit de la section mesurée.

Les stations Amont et aval ont, sous l'averse déjà vu, des écoulements très différents.

La station d'eau (voir Fig. 201) se trouvait à l'ouest de l'église, qui présentait un dénouement, les surfaces le plus étendues étant dans l'ouest et l'est tout comme la station d'eau qui fait partie.

La station d'eau (voir Fig. 201) était la station qui enlevait le moins des débris sous forme d'eau lors de la crue maximale de cette dernière, mais aussi valable pour le niveau des débris arrivant à l'ouest immédiatement de la crue houleuse.

Échelles-Dates de la houleuse.

Les variations de la houleuse aux deux stations ne sont pas parfaitement (Fig. 202). Toutefois, les échelles de la station Avril ayant disparu au cours de la crue maximale du 5 Décembre 1971, nous n'avons aucun indice de ce qui s'est passé à partir du moment où il n'y a plus eu sur les diagrammes de la station Avril.

Nous avons cependant qu'il était donc plus probable au point de vue hydrographique, de trouver une houleuse de base, la houleuse de la station Avril.

Échelles de température maximale à la station Avril (voir la Fig. 203)

Échelles-dates maximales de température à la station Avril corrélation entre les échelles Avril et Avril

Sur deux batteries d'échelles Avril et Avril n'ont pu être établies parfaitement, nous avons toutefois une corrélation graphique (Fig. 204C) entre les deux batteries d'échelles.

La corrélation a été établie à partir des diagrammes enregistrés aux deux stations - nous n'avons utilisé que les maxima des crues qui se sont déroulées pratiquement le plus près possible de la crue du 5 Décembre 1971.

La corrélation a été trouvée avec les maxima des crues de Septembre et Octobre 1971.

- 8 et 9 Septembre 1971 -- 2 mois.
- 25 Septembre 1971 -- 1 mois.
- 27 Septembre 1971 -- 1 mois.
- 1 et 2 Octobre 1971 -- 2 mois.
- 3 Octobre 1971 -- 2 mois.
- 5 et 6 Octobre 1971 -- 2 mois.

Fig. 10

Bien au total 10 mètres, le niveau de jaugeage fait le 25 Septembre 1971, ne se place pas sur la crête. Cela est du au fait que les variations de plan d'eau en rivière sont assez rapides sur un bassin de 50 km². Les jaugeages ont été effectués à des dates différentes au début et au fin de saison il n'y a pas beaucoup temps d'écoulement pour modifier les horizons aux échelles d'aval et aval.

On peut alors s'attendre que différemment avec marée basse les correspondances horizontes aux deux stations, ne soient d'autant plus difficiles à la hauteur haute.

Un instant sur cette élévation de la crête (S-P-T), on peut être un accident d'assèchement (échelles de l'aval au débarquement provisoire).

Pour couvrir la partie droite de la crête nous avons une meilleure corrélation entre les horizons de rive aux deux échelles.

Si l'on prendra la crête, généralement, on obtient une hauteur marine de 2,00 à la station échellement de la crête lorsque l'eau déborde par-dessus les digues à la station aval (l'échellement des marées, assez rapide que tout sur les digues, nous avons obtenu la crête et le redressement (voir Fig. 881C), différemment cependant de celle d'aval à la station aval.

Échelle de niveau moyen à la station aval déterminé temporairement.

Bien avant tout de retrouver le niveau moyen à la station aval par nivellement trigonométrique. Le principal travail est sûrement le fait que les échelles des deux stations n'ont jamais été reliées. Nous avons donc admis au vu d'un même profil en tronçon, sans doute, de la station aval, que le bord rive droite de la digue était aussi élevé de la rive côté sous 3,00.

Après avoir déterminé la rive et nivellement par rapport au niveau de l'échelle d'aval, le niveau moyen sur les digues se situerait à la rive N + 2,75. Cette rive est néanmoins difficile déterminer par corrélation génératrice nous n'avons pas assez d'écoulement de la partie de la digue d'eau entre les stations Saut et aval (pas de station), ce qui permettre aux échelles fausses et surtout pas suffisamment élevées.

Échelle de niveau moyen adoptée.

Pour la hauteur marine à la station aval nous avons admis une hauteur marine probable de 2,70 -- Ce choix est sûrement suspect mais nous pensons qu'il est celui le plus vraisemblable.

La rive droite aussi entre la rive N et l'échelle

/

Étude des débits maximaux

Sur cette station - le niveau maximal et la station adjacente maximale sont assez voisins des débits pour les différentes hauteur au moyen de la formule de Manning - Maréchal - (voir Fig. 281).

Les mesures que nous pouvons n'ont pas permis d'établir d'équation sur une hauteur de 80, le choix d'un R unique nous oblige à nous contenter de l'équation portée par la méthode d'échelonnage. Nous avons donc appliqué un R particulier.

Étude des débits maximaux régionaux

La méthode d'échelonnage :

Si nous posons à la station de 800 m^3/s

Soit un débit spécifique de 1,500 $m^3/s / km^2$

la sorte (1) about pour les hautes de 50 km^2 régions Guyane-Basse
une débit spécifique de :

1,8 $m^3/s/km^2$ - période de retour 10 ans.

3,6 $m^3/s/km^2$ - période de retour 100 ans.

Sur la sorte (2) la courbe normale a été calculée par la méthode de l'hydrogramme spécifique - soit 4,00 m^3/s , ce qui donnerait un débit spécifique de 10 $m^3/s/km^2$.

Supposons que dans le Nord, l'Ouest et Sud (155 km^2) a des débits spécifiques allant de 3 à 8 $m^3/s/km^2$.

Étude finale

Le bassin versant de l'Ouest droit ne comporte aucune réserve hydrographique et à la pluviométrie de la fin juillet au début septembre portée jusqu'à la fin octobre (1958) nous débit novembre (1958).

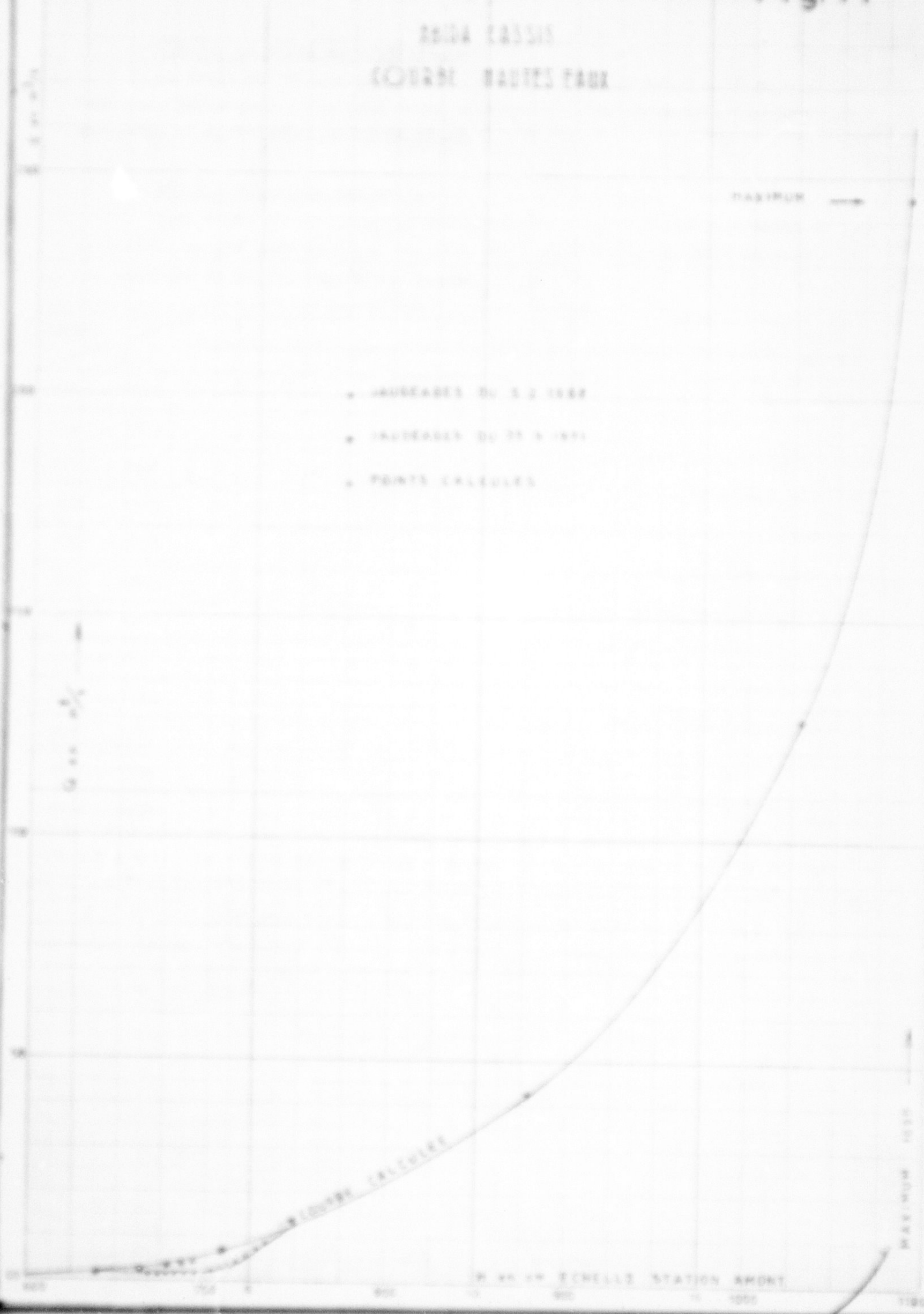
Les étiages sont pas nombreux de l'ordre de un à trois litres/secondes, le plus souvent interrompus très rapidement.

Étude des temps

Les crues sont en général brefs, les temps de crues moyennes sont de l'ordre de 2 à 3 heures - le temps de base moyen est de 30 min.

L'absence de pluviomètre sur le bassin (le seul pluviomètre existant est celui qui est installé à la station de mesure) ne permet pas d'avoir une idée des temps de sécheresse.

Fig. 11



Répartition du travail de renouvellement

Le travail de renouvellement des arbres sur plantations de 15 - 20 ans + il faut, bien sûr, tenir compte des conditions climatiques extrêmes nécessitant particulièrement un précaution sur l'entretien de la plante.

Répartition temporelle des travaux

Pour avons groupé par-après les travaux observés à la station Shida dans le système adopté pour le terme "Forêt" et augmentation du débit de base = en une répartition du débit, lors d'une sécheresse.

| ANNÉE | MOIS | Nombre d'arbres, dans l'ordre, élagués, déracinés, détruits, brûlés, dégagés, démontés, démontés et démontés | | | | | | | | TOTAL ANNUEL |
|-------------|------|--|--------|-------|-------|-------|-------|-------|-------|--------------|
| | | 1 | 2 | 3 | 4 | 5 | 6 | 7 | 8 | |
| 1962 - 1963 | | | | 4 | 11 | 3 | 3 | | | 23 |
| 1963 - 1964 | | 2 | 4 | 4 | 4 | | | | | 17 |
| 1964 - 1965 | | 5 | 3 | 3 | 1 | 4 | 2 | 1 | | 20 |
| 1965 - 1966 | | 2 | 2 | 1 | 2 | 3 | 1 | | | 13 |
| 1966 - 1967 | | | 2 | 4 | 5 | 3 | 2 | | | 16 |
| 1967 - 1968 | | | 1 | 1 | 3 | 1 | 1 | 1 | | 6 |
| 1968 - 1969 | | | 1 | 1 | 3 | 1 | 1 | 1 | | 6 |
| 1969 - 1970 | | 1 | 6 | 6 | 1 | 3 | | | | 25 |
| 1970 - 1971 | | 1 | 1 | 2 | 4 | 6 | 2 | 2 | | 19 |
| 1971 - 1972 | | 6 | 1 | 3 | 3 | 2 | 2 | 1 | | 26 |
| 1972 - 1973 | | 2 | 1 | 4 | 4 | 4 | 3 | 1 | | 21 |
| 1973 - 1974 | | 2 | | 2 | 1 | 3 | 1 | | | 9 |
| 1974 - 1975 | | 3 | 1 | 1 | 1 | 6 | 3 | 1 | | 21 |
| TOTALS | | 54 | 33 | 10 | 18 | 45 | 36 | 125 | 8 | 216 |
| % | | 16,41% | 10,45% | 3,12% | 8,51% | 3,61% | 2,31% | 0,36% | 0,36% | 8,18% |

/

les mois d'août jusqu'au novembre se produisent des crues mais les saisons sont :

| | |
|------------------------------|--------|
| Janvier | 20,5 g |
| Début juillet et fin juillet | 16,5 g |
| Octobre | 15,0 g |
| Avril | 11,5 g |
| Septembre | 8,4 g |
| Novembre | 6,7 g |
| Mai | 3,6 g |
| Août | 2,7 g |
| Rez | 2,3 g |
| Septembre et Octobre | 0 |

Les crues se produisent surtout en octobre puis de décembre jusqu'en mars (fig.).

On constate que sur les 12 mois d'observations il n'y a jamais eu de crues durant les mois de Juin et Juillet.

ANALYSES CHIMIQUES

Éléments minéraux

Deux sortes d'analyses sont effectuées :

DISPONIBILITÉ - L'analyse simple est effectuée dans la zone - la méthode est basée au moyen d'un photométrateur. Cette mesure est faite individuellement pour tous les éléments prélevés lors des prélèvements en filières ou en cours.

DISPONIBILITÉ - L'analyse totale est faite au laboratoire des Rez de l'Ardèche à Tournon. Cette analyse est périodique, elle porte sur les éléments suivants. On appelle : $\text{Mn} + \text{Fe} + \text{Ca}^2 + \text{Mg}^2$ et le Ph.

Éléments minéraux dissous dans l'eau

Les premières mesures sont faites à novembre 1961, trois crues au total.
100 analyses.

Éléments minéraux dissous dans l'eau

Elle se situe au temps normal entre 1 g/l et 1,5 g/l. Vers la fin de l'automne, au printemps (mai-juin) ou au début de saison des pluies (Octobre - Novembre) la sécheresse peut atteindre 2 à 3,5 g/l.

Éléments minéraux dissous dans l'eau

Le cours de la sécheresse est très basse. Pour le minimum elle descend à 0,3 voire 0,25 g/l, au maximum elle atteint 0,5 à 0,7 g/l. Ces valeurs dépendent évidemment des saisons, les cours de Septembre et Octobre étant en général beaucoup plus élevés qu'elles surviennent en Juillet-Premier.

Résumé de la salinité en eau

Il n'y a que très peu d'informations pour les années (5 au total), les valeurs sont légèrement supérieures à celles des années entre 0,3 et 1,0 g/l.

Résumé de l'évolution de la salinité en eau

Sur ces années seules trois de l'évolution de la salinité en eau d'une autre, certaines très compliquées n'ayant fait l'objet de publications particulières.

Résumé des analyses qualitatives :

Les analyses qualitatives faites de 1962 à 1975 sont données sous forme de diagrammes logarithmiques.

Les axes sont normalement abscisses - ordonnées.

Essence.Bu/53 - Étage préglace pris et sorte courante aussi bien en étage qu'en eau, seule exception les sorties des 3 et 12 Janvier 1966 (Année 1965-66) qui sont des préliminaires faites alors en surface des eaux.

Essence.Bu/54 - Brûlure brûlure lors des eaux. Si, la sorte pratiquement courante. Si essence en eau = sorte courante des 11 Décembre 1963

3 Janvier 1964

20 Août 1964

(Année 1963-64)

Essence.Bu⁴/Bu³ - En étage de tout le Bu⁴ est toujours supérieur. Le eau n'est le³ qui devient souvent plus important.

La variabilité de la qualité des eaux, dans laquelle on ne peut trouver aucun caractère, provient essentiellement du type de précipitation et de la localisation de ces précipitations sur le bassin versant.

Les sols proviennent largement de lessivage des sols et ce fait la qualité de l'eau est marquée par celle des pluies et de sa répartition spatiale.

Sur données dans le tableau ci-après la liste des analyses complètes effectuées depuis 1961.

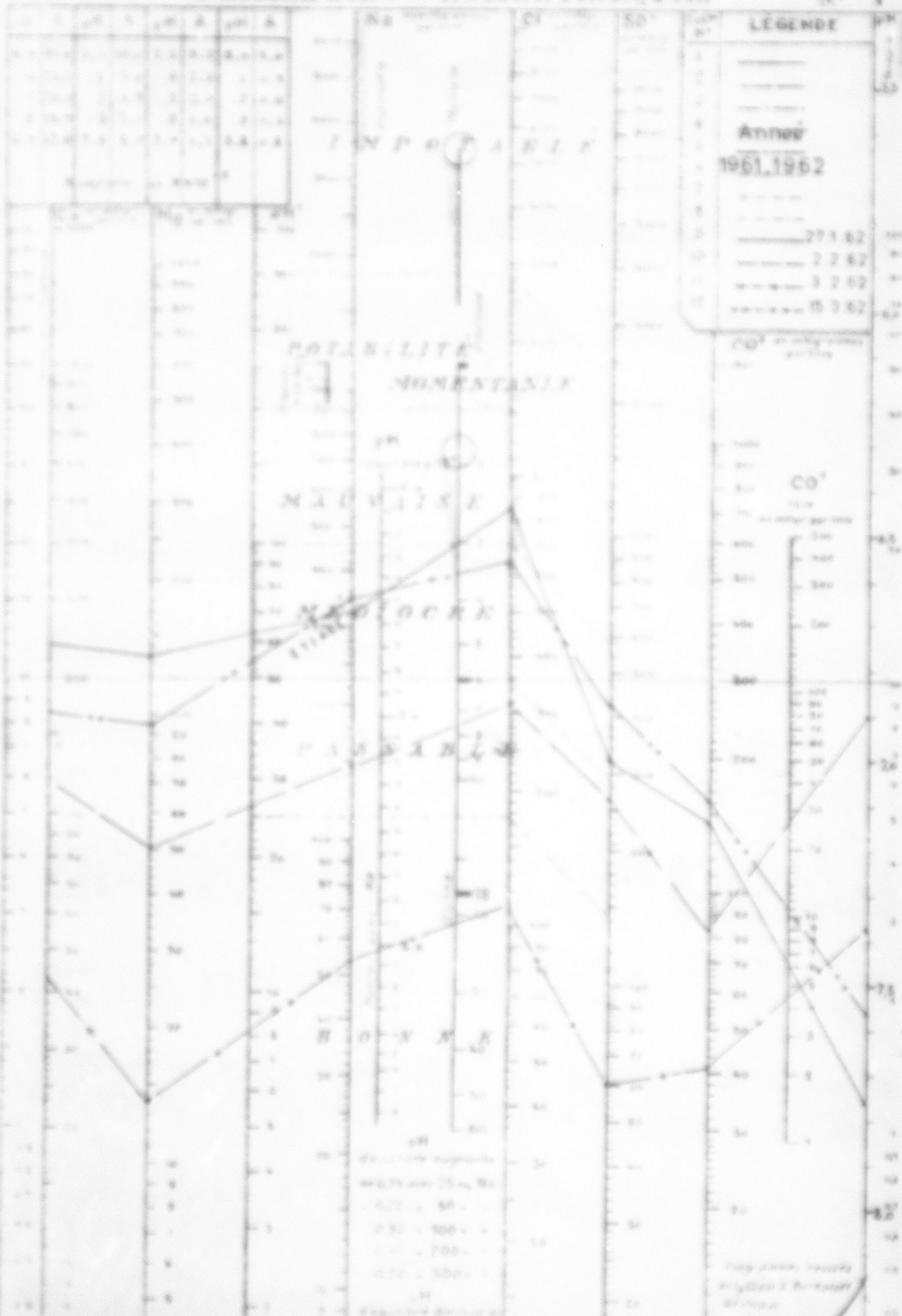
TABLE I. THE EFFECT OF VARIOUS CONCENTRATIONS OF POLY(1,4-PHENYLENE TEREPHTHALIC ACID) ON THE THERMOPROCESSING OF POLY(1,4-PHENYLENE TEREPHTHALIC ACID)

| Conc. wt-% | Tg °C. | Tm °C. | Td °C. | Mechanical Properties | |
|---|-----------|-----------|-----------|--|--------------------------|
| | | | | Tensile Strength kg/cm ² | Elongation at Break % |
| Polymer + 1,4-Phenylene Terephthalic Acid | | | | | |
| 0.000 | 100.0 | 100.0 | 400.0 | 100.0 | 1000.0 |
| 0.005 | 100.0 | 100.0 | 400.0 | 100.0 | 1000.0 |
| 0.010 | 100.0 | 100.0 | 400.0 | 100.0 | 1000.0 |
| 0.020 | 100.0 | 100.0 | 400.0 | 100.0 | 1000.0 |
| 0.040 | 100.0 | 100.0 | 400.0 | 100.0 | 1000.0 |
| 0.060 | 100.0 | 100.0 | 400.0 | 100.0 | 1000.0 |
| 0.080 | 100.0 | 100.0 | 400.0 | 100.0 | 1000.0 |
| 0.100 | 100.0 | 100.0 | 400.0 | 100.0 | 1000.0 |
| 0.120 | 100.0 | 100.0 | 400.0 | 100.0 | 1000.0 |
| 0.140 | 100.0 | 100.0 | 400.0 | 100.0 | 1000.0 |
| 0.160 | 100.0 | 100.0 | 400.0 | 100.0 | 1000.0 |
| 0.180 | 100.0 | 100.0 | 400.0 | 100.0 | 1000.0 |
| 0.200 | 100.0 | 100.0 | 400.0 | 100.0 | 1000.0 |
| 0.250 | 100.0 | 100.0 | 400.0 | 100.0 | 1000.0 |
| 0.300 | 100.0 | 100.0 | 400.0 | 100.0 | 1000.0 |
| 0.350 | 100.0 | 100.0 | 400.0 | 100.0 | 1000.0 |
| 0.400 | 100.0 | 100.0 | 400.0 | 100.0 | 1000.0 |
| 0.450 | 100.0 | 100.0 | 400.0 | 100.0 | 1000.0 |
| 0.500 | 100.0 | 100.0 | 400.0 | 100.0 | 1000.0 |
| 0.550 | 100.0 | 100.0 | 400.0 | 100.0 | 1000.0 |
| 0.600 | 100.0 | 100.0 | 400.0 | 100.0 | 1000.0 |
| 0.650 | 100.0 | 100.0 | 400.0 | 100.0 | 1000.0 |
| 0.700 | 100.0 | 100.0 | 400.0 | 100.0 | 1000.0 |
| 0.750 | 100.0 | 100.0 | 400.0 | 100.0 | 1000.0 |
| 0.800 | 100.0 | 100.0 | 400.0 | 100.0 | 1000.0 |
| 0.850 | 100.0 | 100.0 | 400.0 | 100.0 | 1000.0 |
| 0.900 | 100.0 | 100.0 | 400.0 | 100.0 | 1000.0 |
| 0.950 | 100.0 | 100.0 | 400.0 | 100.0 | 1000.0 |
| 1.000 | 100.0 | 100.0 | 400.0 | 100.0 | 1000.0 |
| Polymer + 1,4-Phenylene Terephthalic Acid + 1,4-Phenylene | | | | | |
| 0.000 | 100.0 | 100.0 | 400.0 | 100.0 | 1000.0 |
| 0.005 | 100.0 | 100.0 | 400.0 | 100.0 | 1000.0 |
| 0.010 | 100.0 | 100.0 | 400.0 | 100.0 | 1000.0 |
| 0.020 | 100.0 | 100.0 | 400.0 | 100.0 | 1000.0 |
| 0.040 | 100.0 | 100.0 | 400.0 | 100.0 | 1000.0 |
| 0.060 | 100.0 | 100.0 | 400.0 | 100.0 | 1000.0 |
| 0.080 | 100.0 | 100.0 | 400.0 | 100.0 | 1000.0 |
| 0.100 | 100.0 | 100.0 | 400.0 | 100.0 | 1000.0 |
| 0.120 | 100.0 | 100.0 | 400.0 | 100.0 | 1000.0 |
| 0.140 | 100.0 | 100.0 | 400.0 | 100.0 | 1000.0 |
| 0.160 | 100.0 | 100.0 | 400.0 | 100.0 | 1000.0 |
| 0.180 | 100.0 | 100.0 | 400.0 | 100.0 | 1000.0 |
| 0.200 | 100.0 | 100.0 | 400.0 | 100.0 | 1000.0 |
| 0.250 | 100.0 | 100.0 | 400.0 | 100.0 | 1000.0 |
| 0.300 | 100.0 | 100.0 | 400.0 | 100.0 | 1000.0 |
| 0.350 | 100.0 | 100.0 | 400.0 | 100.0 | 1000.0 |
| 0.400 | 100.0 | 100.0 | 400.0 | 100.0 | 1000.0 |
| 0.450 | 100.0 | 100.0 | 400.0 | 100.0 | 1000.0 |
| 0.500 | 100.0 | 100.0 | 400.0 | 100.0 | 1000.0 |
| 0.550 | 100.0 | 100.0 | 400.0 | 100.0 | 1000.0 |
| 0.600 | 100.0 | 100.0 | 400.0 | 100.0 | 1000.0 |
| 0.650 | 100.0 | 100.0 | 400.0 | 100.0 | 1000.0 |
| 0.700 | 100.0 | 100.0 | 400.0 | 100.0 | 1000.0 |
| 0.750 | 100.0 | 100.0 | 400.0 | 100.0 | 1000.0 |
| 0.800 | 100.0 | 100.0 | 400.0 | 100.0 | 1000.0 |
| 0.850 | 100.0 | 100.0 | 400.0 | 100.0 | 1000.0 |
| 0.900 | 100.0 | 100.0 | 400.0 | 100.0 | 1000.0 |
| 0.950 | 100.0 | 100.0 | 400.0 | 100.0 | 1000.0 |
| 1.000 | 100.0 | 100.0 | 400.0 | 100.0 | 1000.0 |

— 3 —

DIAGRAMMES LOGARITHMIQUES

1



DIAGRAMMES LOGARITHMIQUES

2

LEGENDE

Année
1963-1964

| | |
|-------|----------|
| | 11.12.53 |
| | 18.12.63 |
| | 5.1.64 |
| | 15.1.64 |
| | 21.1.64 |
| | 28.1.64 |

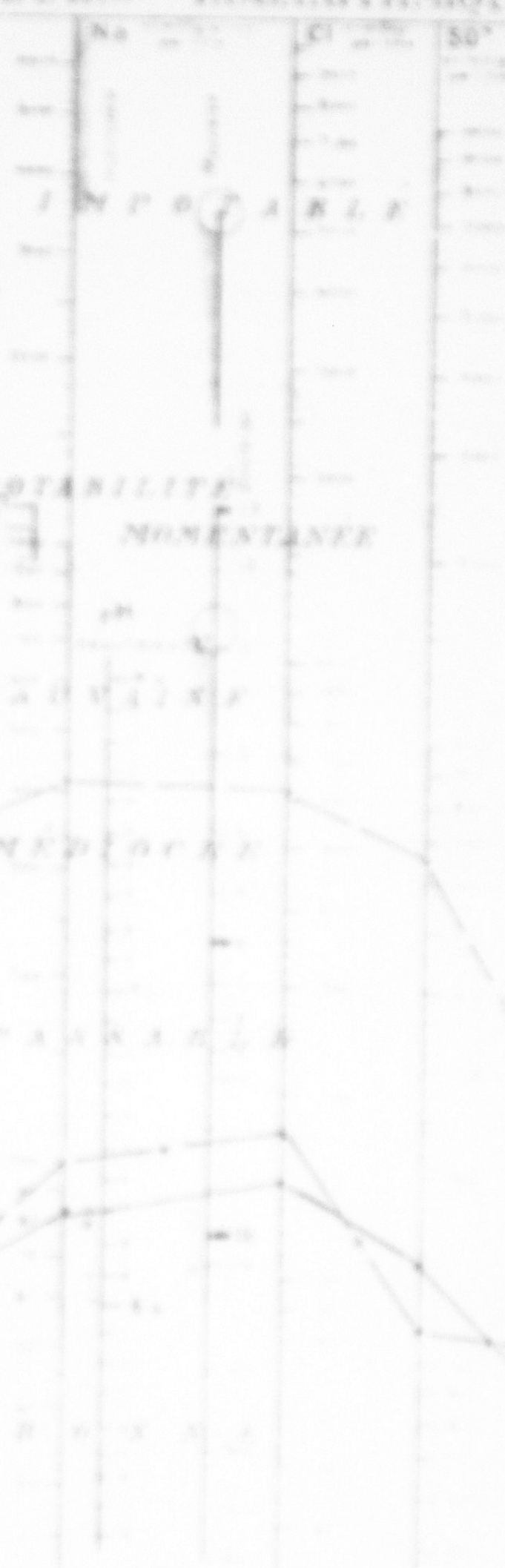
PARIS, 227 E.

MÉTÉOROLOGIQUE

CO₂

DIAGRAMMES LOGAITHMHIQUES

3



DIAGRAMMES LOGARITHMIQUES

LEADERTE

Année
1966-1967

DIAGRAMMES LOGARITHMIQUES

3



THE LOGARITHMUS LONGARITHMUS

1



DEGREES MINUTES SECONDS

LONGITUDE

7

LATITUDE

NORTH

Average
1970, 19711970 1971
1970 1971
1970 1971CO₂PARALLEL
DISTANCE

PARALLEL

PARALLEL

PARALLEL



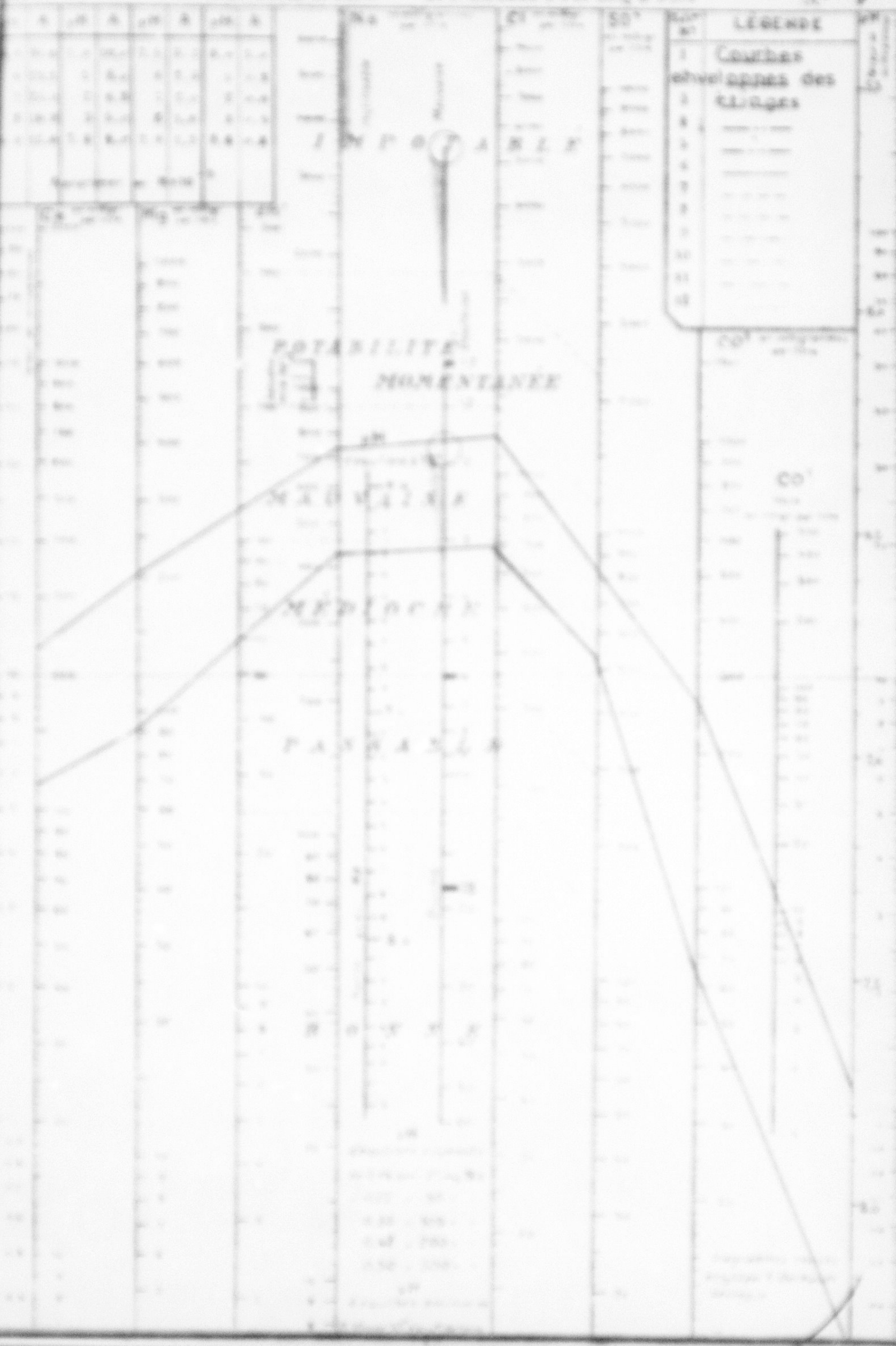
DIAGRAMMES LOGARITHMIQUES

1



DIAGRAMMES LOGARITHMIQUES

10



ENCARNACIONES **LÓGICAMENTE**

10

DIAGRAMMES LOGARITHMIQUES

11



中国古典文学名著全集·古典文学卷

Les mesures de transport solide sont peu nombreuses, à peine 13 mesures, (sur 18 avec 4 observations) dont 5 faites durant la crue du 3 Septembre 1973. Les contributions ont été faites à des débits extrêmement bas de l'ordre de 10 m^3/s . Le débit solide mobile peut négliger le (3,82) g/l pour le maximum). Par contre le 3 Septembre 1973 pour un débit de 25 m^3/s nous avons 18,364 g/l.

Quelle variabilité ont leurs normatives et fonction de type de préceptes
vécus devant les 3 des familles.

Les sources de transport militaire seront supprimées avec un apprendrage continu pour la capitalisation de la nouvelle situation.

Des mesures similaires, comme celles mises en place dans les barrages (3), pour protéger contre les dégâts causés.

- | | |
|---------------------------------|---------------------------------|
| - Bassin = 94 km ² | - date de nos données = 1960 |
| - volume du réservoir | $1,65 \cdot 10^9 m^3$ |
| - volume du barrage à l'origine | $6,45 \cdot 10^8 m^3$ |
| - Bassin = 64 km ² | - date de nos = 1963 point 1963 |
| - volume du réservoir | $1,65 \cdot 10^9 m^3$ |
| - volume du barrage à l'origine | $7,75 \cdot 10^8 m^3$ |
| - Bassin = 40 km ² | - date de nos = Janvier 1968 |
| - volume du réservoir | $1,45 \cdot 10^9 m^3$ |
| - volume du barrage à l'origine | $6,85 \cdot 10^8 m^3$ |

THE JOURNAL OF VETERINARY MEDICINE

Les documents de l'Ordre Shinto proviennent du temple Ueno et des documents originaire envoiés au Bureau de l'Intégration de la S.I.S.

THE JOURNAL OF VETERINARY MEDICINE

Les appels totaux ont été obtenus à partir de la traduction de la liste
éditée par les auteurs d'origine.

Pour pallier à l'insuffisance des lectures d'origine (les œuvres étrangères n'étaient pas très souvent éditées sous ce nom), les éditions modernes journalières ont été corrélées aux œuvres contemporaines.

Etude des rapports de l'Inde et du Japon.

La comparaison des rapports de l'Inde et du Japon a été faite sur plusieurs points : les méthodes sont données dans les tableaux graphiques.

Etude du Recensement.

Le système bureaucratique n'a pas été étudié dans cette étude, le nombre de programmes d'affaires n'étant pas suffisant pour pouvoir tenir des accès d'histoires. L'administration n'est officiellement placée sur l'ordre des idées, mais observations personnelles permettent d'avoir une notion plus exacte dans le temps.

2000-01-01 00:00:00 中国科学院植物研究所 (CIB) 中国科学院植物研究所 (CIB)

— 10 —

卷之三

新編藏書票集 1982-1992年
新編藏書票集 1982-1992年

卷之三

2018-2019 学年高二物理上学期期中考试卷（必修二） 第 2 页 共 8 页

— 1 —

本章支持「点对点」的文件互传，例如从「我的电脑」到「我的电脑」。

- 27 -

1980-1981

WATER CANNON

REBATES BY NUMBER 10,000 AND

1979 REBATES 1980-1981

1980-1981 REBATES BY NUMBER (CONT'D) BY 100'S

| NUMBER | NAME | ADDRESS | STATE | NUMBER | NAME | STATE | NUMBER | NAME | STATE | NUMBER | NAME | STATE |
|---------|---------|---------|-------|---------|---------|--------|--------|---------|---------|--------|---------|-------|
| 4-100 | A. HORN | 10,000 | IL | 4-200 | B. HORN | 10,000 | IL | 4-300 | C. HORN | 10,000 | D. HORN | IL |
| 4-400 | E. HORN | 10,000 | IL | 4-500 | F. HORN | 10,000 | IL | 4-600 | G. HORN | 10,000 | H. HORN | IL |
| 4-700 | I. HORN | 10,000 | IL | 4-800 | J. HORN | 10,000 | IL | 4-900 | K. HORN | 10,000 | L. HORN | IL |
| 4-1000 | M. HORN | 10,000 | IL | 4-1100 | N. HORN | 10,000 | IL | 4-1200 | O. HORN | 10,000 | P. HORN | IL |
| 4-1300 | Q. HORN | 10,000 | IL | 4-1400 | R. HORN | 10,000 | IL | 4-1500 | S. HORN | 10,000 | T. HORN | IL |
| 4-1600 | U. HORN | 10,000 | IL | 4-1700 | V. HORN | 10,000 | IL | 4-1800 | W. HORN | 10,000 | X. HORN | IL |
| 4-1900 | Y. HORN | 10,000 | IL | 4-2000 | Z. HORN | 10,000 | IL | 4-2100 | A. HORN | 10,000 | B. HORN | IL |
| 4-2200 | C. HORN | 10,000 | IL | 4-2300 | D. HORN | 10,000 | IL | 4-2400 | E. HORN | 10,000 | F. HORN | IL |
| 4-2500 | G. HORN | 10,000 | IL | 4-2600 | H. HORN | 10,000 | IL | 4-2700 | I. HORN | 10,000 | J. HORN | IL |
| 4-2800 | K. HORN | 10,000 | IL | 4-2900 | L. HORN | 10,000 | IL | 4-3000 | M. HORN | 10,000 | N. HORN | IL |
| 4-3100 | O. HORN | 10,000 | IL | 4-3200 | P. HORN | 10,000 | IL | 4-3300 | Q. HORN | 10,000 | R. HORN | IL |
| 4-3400 | S. HORN | 10,000 | IL | 4-3500 | T. HORN | 10,000 | IL | 4-3600 | U. HORN | 10,000 | V. HORN | IL |
| 4-3700 | W. HORN | 10,000 | IL | 4-3800 | X. HORN | 10,000 | IL | 4-3900 | Y. HORN | 10,000 | Z. HORN | IL |
| 4-4000 | A. HORN | 10,000 | IL | 4-4100 | B. HORN | 10,000 | IL | 4-4200 | C. HORN | 10,000 | D. HORN | IL |
| 4-4300 | E. HORN | 10,000 | IL | 4-4400 | F. HORN | 10,000 | IL | 4-4500 | G. HORN | 10,000 | H. HORN | IL |
| 4-4600 | I. HORN | 10,000 | IL | 4-4700 | J. HORN | 10,000 | IL | 4-4800 | K. HORN | 10,000 | L. HORN | IL |
| 4-4900 | M. HORN | 10,000 | IL | 4-5000 | N. HORN | 10,000 | IL | 4-5100 | O. HORN | 10,000 | P. HORN | IL |
| 4-5200 | Q. HORN | 10,000 | IL | 4-5300 | R. HORN | 10,000 | IL | 4-5400 | S. HORN | 10,000 | T. HORN | IL |
| 4-5500 | U. HORN | 10,000 | IL | 4-5600 | V. HORN | 10,000 | IL | 4-5700 | W. HORN | 10,000 | X. HORN | IL |
| 4-5800 | Y. HORN | 10,000 | IL | 4-5900 | Z. HORN | 10,000 | IL | 4-6000 | A. HORN | 10,000 | B. HORN | IL |
| 4-6100 | C. HORN | 10,000 | IL | 4-6200 | D. HORN | 10,000 | IL | 4-6300 | E. HORN | 10,000 | F. HORN | IL |
| 4-6400 | G. HORN | 10,000 | IL | 4-6500 | H. HORN | 10,000 | IL | 4-6600 | I. HORN | 10,000 | J. HORN | IL |
| 4-6700 | K. HORN | 10,000 | IL | 4-6800 | L. HORN | 10,000 | IL | 4-6900 | M. HORN | 10,000 | N. HORN | IL |
| 4-7000 | O. HORN | 10,000 | IL | 4-7100 | P. HORN | 10,000 | IL | 4-7200 | Q. HORN | 10,000 | R. HORN | IL |
| 4-7300 | S. HORN | 10,000 | IL | 4-7400 | T. HORN | 10,000 | IL | 4-7500 | U. HORN | 10,000 | V. HORN | IL |
| 4-7600 | W. HORN | 10,000 | IL | 4-7700 | X. HORN | 10,000 | IL | 4-7800 | Y. HORN | 10,000 | Z. HORN | IL |
| 4-7900 | A. HORN | 10,000 | IL | 4-8000 | B. HORN | 10,000 | IL | 4-8100 | C. HORN | 10,000 | D. HORN | IL |
| 4-8200 | E. HORN | 10,000 | IL | 4-8300 | F. HORN | 10,000 | IL | 4-8400 | G. HORN | 10,000 | H. HORN | IL |
| 4-8500 | I. HORN | 10,000 | IL | 4-8600 | J. HORN | 10,000 | IL | 4-8700 | K. HORN | 10,000 | L. HORN | IL |
| 4-8800 | M. HORN | 10,000 | IL | 4-8900 | N. HORN | 10,000 | IL | 4-9000 | O. HORN | 10,000 | P. HORN | IL |
| 4-9100 | Q. HORN | 10,000 | IL | 4-9200 | R. HORN | 10,000 | IL | 4-9300 | S. HORN | 10,000 | T. HORN | IL |
| 4-9400 | U. HORN | 10,000 | IL | 4-9500 | V. HORN | 10,000 | IL | 4-9600 | W. HORN | 10,000 | X. HORN | IL |
| 4-9700 | Y. HORN | 10,000 | IL | 4-9800 | Z. HORN | 10,000 | IL | 4-9900 | A. HORN | 10,000 | B. HORN | IL |
| 4-10000 | C. HORN | 10,000 | IL | 4-10100 | D. HORN | 10,000 | IL | 4-10200 | E. HORN | 10,000 | F. HORN | IL |
| 4-10300 | G. HORN | 10,000 | IL | 4-10400 | H. HORN | 10,000 | IL | 4-10500 | I. HORN | 10,000 | J. HORN | IL |
| 4-10600 | K. HORN | 10,000 | IL | 4-10700 | L. HORN | 10,000 | IL | 4-10800 | M. HORN | 10,000 | N. HORN | IL |
| 4-10900 | O. HORN | 10,000 | IL | 4-11000 | P. HORN | 10,000 | IL | 4-11100 | Q. HORN | 10,000 | R. HORN | IL |
| 4-11200 | S. HORN | 10,000 | IL | 4-11300 | T. HORN | 10,000 | IL | 4-11400 | U. HORN | 10,000 | V. HORN | IL |
| 4-11500 | W. HORN | 10,000 | IL | 4-11600 | X. HORN | 10,000 | IL | 4-11700 | Y. HORN | 10,000 | Z. HORN | IL |
| 4-11800 | A. HORN | 10,000 | IL | 4-11900 | B. HORN | 10,000 | IL | 4-12000 | C. HORN | 10,000 | D. HORN | IL |
| 4-12100 | E. HORN | 10,000 | IL | 4-12200 | F. HORN | 10,000 | IL | 4-12300 | G. HORN | 10,000 | H. HORN | IL |
| 4-12400 | I. HORN | 10,000 | IL | 4-12500 | J. HORN | 10,000 | IL | 4-12600 | K. HORN | 10,000 | L. HORN | IL |
| 4-12700 | M. HORN | 10,000 | IL | 4-12800 | N. HORN | 10,000 | IL | 4-12900 | O. HORN | 10,000 | P. HORN | IL |
| 4-13000 | Q. HORN | 10,000 | IL | 4-13100 | R. HORN | 10,000 | IL | 4-13200 | S. HORN | 10,000 | T. HORN | IL |
| 4-13300 | U. HORN | 10,000 | IL | 4-13400 | V. HORN | 10,000 | IL | 4-13500 | W. HORN | 10,000 | X. HORN | IL |
| 4-13600 | Y. HORN | 10,000 | IL | 4-13700 | Z. HORN | 10,000 | IL | 4-13800 | A. HORN | 10,000 | B. HORN | IL |
| 4-13900 | C. HORN | 10,000 | IL | 4-14000 | D. HORN | 10,000 | IL | 4-14100 | E. HORN | 10,000 | F. HORN | IL |
| 4-14200 | G. HORN | 10,000 | IL | 4-14300 | H. HORN | 10,000 | IL | 4-14400 | I. HORN | 10,000 | J. HORN | IL |
| 4-14500 | K. HORN | 10,000 | IL | 4-14600 | L. HORN | 10,000 | IL | 4-14700 | M. HORN | 10,000 | N. HORN | IL |
| 4-14800 | O. HORN | 10,000 | IL | 4-14900 | P. HORN | 10,000 | IL | 4-15000 | Q. HORN | 10,000 | R. HORN | IL |
| 4-15100 | S. HORN | 10,000 | IL | 4-15200 | T. HORN | 10,000 | IL | 4-15300 | U. HORN | 10,000 | V. HORN | IL |
| 4-15400 | W. HORN | 10,000 | IL | 4-15500 | X. HORN | 10,000 | IL | 4-15600 | Y. HORN | 10,000 | Z. HORN | IL |
| 4-15700 | A. HORN | 10,000 | IL | 4-15800 | B. HORN | 10,000 | IL | 4-15900 | C. HORN | 10,000 | D. HORN | IL |
| 4-16000 | E. HORN | 10,000 | IL | 4-16100 | F. HORN | 10,000 | IL | 4-16200 | G. HORN | 10,000 | H. HORN | IL |
| 4-16300 | I. HORN | 10,000 | IL | 4-16400 | J. HORN | 10,000 | IL | 4-16500 | K. HORN | 10,000 | L. HORN | IL |
| 4-16600 | M. HORN | 10,000 | IL | 4-16700 | N. HORN | 10,000 | IL | 4-16800 | O. HORN | 10,000 | P. HORN | IL |
| 4-16900 | Q. HORN | 10,000 | IL | 4-17000 | R. HORN | 10,000 | IL | 4-17100 | S. HORN | 10,000 | T. HORN | IL |
| 4-17200 | U. HORN | 10,000 | IL | 4-17300 | V. HORN | 10,000 | IL | 4-17400 | W. HORN | 10,000 | X. HORN | IL |
| 4-17500 | Y. HORN | 10,000 | IL | 4-17600 | Z. HORN | 10,000 | IL | 4-17700 | A. HORN | 10,000 | B. HORN | IL |
| 4-17800 | C. HORN | 10,000 | IL | 4-17900 | D. HORN | 10,000 | IL | 4-18000 | E. HORN | 10,000 | F. HORN | IL |
| 4-18100 | G. HORN | 10,000 | IL | 4-18200 | H. HORN | 10,000 | IL | 4-18300 | I. HORN | 10,000 | J. HORN | IL |
| 4-18400 | K. HORN | 10,000 | IL | 4-18500 | L. HORN | 10,000 | IL | 4-18600 | M. HORN | 10,000 | N. HORN | IL |
| 4-18700 | O. HORN | 10,000 | IL | 4-18800 | P. HORN | 10,000 | IL | 4-18900 | Q. HORN | 10,000 | R. HORN | IL |
| 4-19000 | S. HORN | 10,000 | IL | 4-19100 | T. HORN | 10,000 | IL | 4-19200 | U. HORN | 10,000 | V. HORN | IL |
| 4-19300 | W. HORN | 10,000 | IL | 4-19400 | X. HORN | 10,000 | IL | 4-19500 | Y. HORN | 10,000 | Z. HORN | IL |
| 4-19600 | A. HORN | 10,000 | IL | 4-19700 | B. HORN | 10,000 | IL | 4-19800 | C. HORN | 10,000 | D. HORN | IL |
| 4-19900 | E. HORN | 10,000 | IL | 4-20000 | F. HORN | 10,000 | IL | 4-20100 | G. HORN | 10,000 | H. HORN | IL |
| 4-20200 | I. HORN | 10,000 | IL | 4-20300 | J. HORN | 10,000 | IL | 4-20400 | K. HORN | 10,000 | L. HORN | IL |
| 4-20500 | M. HORN | 1 | | | | | | | | | | |

2000-01-01 版權由 國際化學聯合會 (IUPAC) 持有 © IUPAC

— 1 —

— 1 —

第三部分 会议与报告

卷之三

Journal of Nonlinear Science and Applications (JNSA) 2019; 12(10): 1732-1746
 ©2019 The Author(s). Published by Scientific Research Publishing, Inc.

—
—

卷之三

卷之三十一

三

卷之三

新規な構造の開発とその評価を目的とした実験室試験（In Vitro Test）と σ^2/μ

新亞理工學院 1980-81 學年

新亞理工學院 1980-81 學年 10 月 份 例題 (A, B, C, D, E) 計 m^2/s

| 題號 |
|--------|--------|--------|--------|--------|--------|--------|--------|--------|--------|--------|--------|--------|
| A-1001 | B-1001 | C-1001 | D-1001 | E-1001 | A-1002 | B-1002 | C-1002 | D-1002 | E-1002 | A-1003 | B-1003 | C-1003 |
| A-1004 | B-1004 | C-1004 | D-1004 | E-1004 | A-1005 | B-1005 | C-1005 | D-1005 | E-1005 | A-1006 | B-1006 | C-1006 |
| A-1007 | B-1007 | C-1007 | D-1007 | E-1007 | A-1008 | B-1008 | C-1008 | D-1008 | E-1008 | A-1009 | B-1009 | C-1009 |
| A-1009 | B-1009 | C-1009 | D-1009 | E-1009 | A-1010 | B-1010 | C-1010 | D-1010 | E-1010 | A-1011 | B-1011 | C-1011 |
| A-1011 | B-1011 | C-1011 | D-1011 | E-1011 | A-1012 | B-1012 | C-1012 | D-1012 | E-1012 | A-1013 | B-1013 | C-1013 |
| A-1013 | B-1013 | C-1013 | D-1013 | E-1013 | A-1014 | B-1014 | C-1014 | D-1014 | E-1014 | A-1015 | B-1015 | C-1015 |
| A-1015 | B-1015 | C-1015 | D-1015 | E-1015 | A-1016 | B-1016 | C-1016 | D-1016 | E-1016 | A-1017 | B-1017 | C-1017 |
| A-1017 | B-1017 | C-1017 | D-1017 | E-1017 | A-1018 | B-1018 | C-1018 | D-1018 | E-1018 | A-1019 | B-1019 | C-1019 |
| A-1019 | B-1019 | C-1019 | D-1019 | E-1019 | A-1020 | B-1020 | C-1020 | D-1020 | E-1020 | A-1021 | B-1021 | C-1021 |
| A-1021 | B-1021 | C-1021 | D-1021 | E-1021 | A-1022 | B-1022 | C-1022 | D-1022 | E-1022 | A-1023 | B-1023 | C-1023 |
| A-1023 | B-1023 | C-1023 | D-1023 | E-1023 | A-1024 | B-1024 | C-1024 | D-1024 | E-1024 | A-1025 | B-1025 | C-1025 |
| A-1025 | B-1025 | C-1025 | D-1025 | E-1025 | A-1026 | B-1026 | C-1026 | D-1026 | E-1026 | A-1027 | B-1027 | C-1027 |
| A-1027 | B-1027 | C-1027 | D-1027 | E-1027 | A-1028 | B-1028 | C-1028 | D-1028 | E-1028 | A-1029 | B-1029 | C-1029 |
| A-1029 | B-1029 | C-1029 | D-1029 | E-1029 | A-1030 | B-1030 | C-1030 | D-1030 | E-1030 | A-1031 | B-1031 | C-1031 |
| A-1031 | B-1031 | C-1031 | D-1031 | E-1031 | A-1032 | B-1032 | C-1032 | D-1032 | E-1032 | A-1033 | B-1033 | C-1033 |
| A-1033 | B-1033 | C-1033 | D-1033 | E-1033 | A-1034 | B-1034 | C-1034 | D-1034 | E-1034 | A-1035 | B-1035 | C-1035 |
| A-1035 | B-1035 | C-1035 | D-1035 | E-1035 | A-1036 | B-1036 | C-1036 | D-1036 | E-1036 | A-1037 | B-1037 | C-1037 |
| A-1037 | B-1037 | C-1037 | D-1037 | E-1037 | A-1038 | B-1038 | C-1038 | D-1038 | E-1038 | A-1039 | B-1039 | C-1039 |
| A-1039 | B-1039 | C-1039 | D-1039 | E-1039 | A-1040 | B-1040 | C-1040 | D-1040 | E-1040 | A-1041 | B-1041 | C-1041 |
| A-1041 | B-1041 | C-1041 | D-1041 | E-1041 | A-1042 | B-1042 | C-1042 | D-1042 | E-1042 | A-1043 | B-1043 | C-1043 |
| A-1043 | B-1043 | C-1043 | D-1043 | E-1043 | A-1044 | B-1044 | C-1044 | D-1044 | E-1044 | A-1045 | B-1045 | C-1045 |
| A-1045 | B-1045 | C-1045 | D-1045 | E-1045 | A-1046 | B-1046 | C-1046 | D-1046 | E-1046 | A-1047 | B-1047 | C-1047 |
| A-1047 | B-1047 | C-1047 | D-1047 | E-1047 | A-1048 | B-1048 | C-1048 | D-1048 | E-1048 | A-1049 | B-1049 | C-1049 |
| A-1049 | B-1049 | C-1049 | D-1049 | E-1049 | A-1050 | B-1050 | C-1050 | D-1050 | E-1050 | A-1051 | B-1051 | C-1051 |
| A-1051 | B-1051 | C-1051 | D-1051 | E-1051 | A-1052 | B-1052 | C-1052 | D-1052 | E-1052 | A-1053 | B-1053 | C-1053 |
| A-1053 | B-1053 | C-1053 | D-1053 | E-1053 | A-1054 | B-1054 | C-1054 | D-1054 | E-1054 | A-1055 | B-1055 | C-1055 |
| A-1055 | B-1055 | C-1055 | D-1055 | E-1055 | A-1056 | B-1056 | C-1056 | D-1056 | E-1056 | A-1057 | B-1057 | C-1057 |
| A-1057 | B-1057 | C-1057 | D-1057 | E-1057 | A-1058 | B-1058 | C-1058 | D-1058 | E-1058 | A-1059 | B-1059 | C-1059 |
| A-1059 | B-1059 | C-1059 | D-1059 | E-1059 | A-1060 | B-1060 | C-1060 | D-1060 | E-1060 | A-1061 | B-1061 | C-1061 |
| A-1061 | B-1061 | C-1061 | D-1061 | E-1061 | A-1062 | B-1062 | C-1062 | D-1062 | E-1062 | A-1063 | B-1063 | C-1063 |
| A-1063 | B-1063 | C-1063 | D-1063 | E-1063 | A-1064 | B-1064 | C-1064 | D-1064 | E-1064 | A-1065 | B-1065 | C-1065 |
| A-1065 | B-1065 | C-1065 | D-1065 | E-1065 | A-1066 | B-1066 | C-1066 | D-1066 | E-1066 | A-1067 | B-1067 | C-1067 |
| A-1067 | B-1067 | C-1067 | D-1067 | E-1067 | A-1068 | B-1068 | C-1068 | D-1068 | E-1068 | A-1069 | B-1069 | C-1069 |
| A-1069 | B-1069 | C-1069 | D-1069 | E-1069 | A-1070 | B-1070 | C-1070 | D-1070 | E-1070 | A-1071 | B-1071 | C-1071 |
| A-1071 | B-1071 | C-1071 | D-1071 | E-1071 | A-1072 | B-1072 | C-1072 | D-1072 | E-1072 | A-1073 | B-1073 | C-1073 |
| A-1073 | B-1073 | C-1073 | D-1073 | E-1073 | A-1074 | B-1074 | C-1074 | D-1074 | E-1074 | A-1075 | B-1075 | C-1075 |
| A-1075 | B-1075 | C-1075 | D-1075 | E-1075 | A-1076 | B-1076 | C-1076 | D-1076 | E-1076 | A-1077 | B-1077 | C-1077 |
| A-1077 | B-1077 | C-1077 | D-1077 | E-1077 | A-1078 | B-1078 | C-1078 | D-1078 | E-1078 | A-1079 | B-1079 | C-1079 |
| A-1079 | B-1079 | C-1079 | D-1079 | E-1079 | A-1080 | B-1080 | C-1080 | D-1080 | E-1080 | A-1081 | B-1081 | C-1081 |
| A-1081 | B-1081 | C-1081 | D-1081 | E-1081 | A-1082 | B-1082 | C-1082 | D-1082 | E-1082 | A-1083 | B-1083 | C-1083 |
| A-1083 | B-1083 | C-1083 | D-1083 | E-1083 | A-1084 | B-1084 | C-1084 | D-1084 | E-1084 | A-1085 | B-1085 | C-1085 |
| A-1085 | B-1085 | C-1085 | D-1085 | E-1085 | A-1086 | B-1086 | C-1086 | D-1086 | E-1086 | A-1087 | B-1087 | C-1087 |
| A-1087 | B-1087 | C-1087 | D-1087 | E-1087 | A-1088 | B-1088 | C-1088 | D-1088 | E-1088 | A-1089 | B-1089 | C-1089 |
| A-1089 | B-1089 | C-1089 | D-1089 | E-1089 | A-1090 | B-1090 | C-1090 | D-1090 | E-1090 | A-1091 | B-1091 | C-1091 |
| A-1091 | B-1091 | C-1091 | D-1091 | E-1091 | A-1092 | B-1092 | C-1092 | D-1092 | E-1092 | A-1093 | B-1093 | C-1093 |
| A-1093 | B-1093 | C-1093 | D-1093 | E-1093 | A-1094 | B-1094 | C-1094 | D-1094 | E-1094 | A-1095 | B-1095 | C-1095 |
| A-1095 | B-1095 | C-1095 | D-1095 | E-1095 | A-1096 | B-1096 | C-1096 | D-1096 | E-1096 | A-1097 | B-1097 | C-1097 |
| A-1097 | B-1097 | C-1097 | D-1097 | E-1097 | A-1098 | B-1098 | C-1098 | D-1098 | E-1098 | A-1099 | B-1099 | C-1099 |
| A-1099 | B-1099 | C-1099 | D-1099 | E-1099 | A-1100 | B-1100 | C-1100 | D-1100 | E-1100 | A-1101 | B-1101 | C-1101 |
| A-1101 | B-1101 | C-1101 | D-1101 | E-1101 | A-1102 | B-1102 | C-1102 | D-1102 | E-1102 | A-1103 | B-1103 | C-1103 |
| A-1103 | B-1103 | C-1103 | D-1103 | E-1103 | A-1104 | B-1104 | C-1104 | D-1104 | E-1104 | A-1105 | B-1105 | C-1105 |
| A-1105 | B-1105 | C-1105 | D-1105 | E-1105 | A-1106 | B-1106 | C-1106 | D-1106 | E-1106 | A-1107 | B-1107 | C-1107 |
| A-1107 | B-1107 | C-1107 | D-1107 | E-1107 | A-1108 | B-1108 | C-1108 | D-1108 | E-1108 | A-1109 | B-1109 | C-1109 |
| A-1109 | B-1109 | C-1109 | D-1109 | E-1109 | A-1110 | B-1110 | C-1110 | D-1110 | E-1110 | A-1111 | B-1111 | C-1111 |
| A-1111 | B-1111 | C-1111 | D-1111 | E-1111 | A-1112 | B-1112 | C-1112 | D-1112 | E-1112 | A-1113 | B-1113 | C-1113 |
| A-1113 | B-1113 | C-1113 | D-1113 | E-1113 | A-1114 | B-1114 | C-1114 | D-1114 | E-1114 | A-1115 | B-1115 | C-1115 |
| A-1115 | B-1115 | C-1115 | D-1115 | E-1115 | A-1116 | B-1116 | C-1116 | D-1116 | E-1116 | A-1117 | B-1117 | C-1117 |
| A-1117 | B-1117 | C-1117 | D-1117 | E-1117 | A-1118 | B-1118 | C-1118 | D-1118 | E-1118 | A-1119 | B-1119 | C-1119 |
| A-1119 | B-1119 | C-1119 | D-1119 | E-1119 | A-1120 | B-1120 | C-1120 | D-1120 | E-1120 | A-1121 | B-1121 | C-1121 |
| A-1121 | B-1121 | C-1121 | D-1121 | E-1121 | A-1122 | B-1122 | C-1122 | D-1122 | E-1122 | A-1123 | B-1123 | C-1123 |
| A-1123 | B-1123 | C-1123 | D-1123 | E-1123 | A-1124 | B-1124 | C-1124 | D-1124 | E-1124 | A-1125 | B-1125 | C-1125 |
| A-1125 | B-1125 | C-1125 | D-1125 | E-1125 | A-1126 | B-1126 | C-1126 | D-1126 | E-1126 | A-1127 | B-1127 | C-1127 |
| A-1127 | B-1127 | C-1127 | D-1127 | E-1127 | A-1128 | B-1128 | C-1128 | D-1128 | E-1128 | A-1129 | B-1129 | C-1129 |
| A-1129 | B-1129 | C-1129 | D-1129 | E-1129 | A-1130 | B-1130 | C-1130 | D-1130 | E-1130 | A-1131 | B-1131 | C-1131 |
| A-1131 | B-1131 | C-1131 | D-1131 | E-1131 | A-1132 | B-1132 | C-1132 | D-1132 | E-1132 | A-1133 | B-1133 | C-1133 |
| A-1133 | B-1133 | C-1133 | D-1133 | E-1133 | A-1134 | B-1134 | C-1134 | D-1134 | E-1134 | A-1135 | B-1135 | C-1135 |
| A-1135 | B-1135 | C-1135 | D-1135 | E-1135 | A-1136 | B-1136 | C-1136 | D-1136 | E-1136 | A-1137 | B-1137 | C-1137 |
| A-1137 | B-1137 | C-1137 | D-1137 | E-1137 | A-1138 | B-1138 | C-1138 | D-1138 | E-1138 | A-1139 | B-1139 | C-1139 |
| A-11 | | | | | | | | | | | | |

Digitized with funds from the University of Michigan Library

卷之三

卷之三十一

三

2023年新教材 九年级道德与法治（人教版）课件PPT

SUITE EN

F 2



MICROFICHE N°

00796

Ministère Tunisien

MINISTÈRE DE L'AGRICULTURE

CENTRE NATIONAL DE

DOCUMENTATION AGRICOLE

TUNIS

الجنة الفنية التونسية
وزارة الفلاحة

المركز القومي
للسويق الفلاحي
تونس

F 2

卷之三

三

基础教育评价与课程改革研究会会刊 (第4期) 第二辑

S. S. S. S. S.

Résumé des honoraires en fonction des années

| ANNÉE | HONORAIRES PAR ANNEE EN MILLES \$ | HONORAIRES PAR ANNEE EN MILLES \$ | HONORAIRES PAR ANNEE EN MILLES \$ |
|---------|--------------------------------------|--------------------------------------|--------------------------------------|
| 1963-64 | années incomplètes 5,000 | années complètes 10,000 | années incomplètes 10,000 |
| 1964-65 | 5,000 | 5,000 | 4,000 |
| 1965-66 | 5,000 | 4,000 | 4,000 |
| 1966-67 | 5,000 | 5,000 | 5,000 |
| 1967-68 | 5,000 | 5,000 | 5,000 |
| 1968-69 | 5,000 | 5,000 | 5,000 |
| 1969-70 | 5,000 | 5,000 | 5,000 |
| 1970-71 | 5,000 | 5,000 | 5,000 |
| 1971-72 | 5,000 | 5,000 | 5,000 |
| 1972-73 | années incomplètes 5,000 | années complètes 10,000 | années incomplètes 10,000 |
| 1973-74 | 5,000 | 5,000 | 5,000 |
| 1974-75 | 5,000 | 5,000 | 5,000 |
| 1975-76 | 5,000 | 5,000 | 5,000 |

- 35 -

DÉTAILS MÉT.

CLIMAT ALASKA

MÉTÉO ANNUEL ANNUELLE

| | | |
|-------------|--|------|
| 1963 - 1964 | 71,5 m ³ /s le 10 Décembre | 1963 |
| 1964 - 1965 | 46,6 m ³ /s le 20 Février | 1965 |
| 1965 - 1966 | 48,2 m ³ /s le 27 Avril | 1966 |
| 1966 - 1967 | 53,3 m ³ /s le Février | 1967 |
| 1967 - 1968 | 67,7 m ³ /s le 27 Novembre | 1968 |
| 1968 - 1969 | 5,01 m ³ /s le 5 Mai | 1969 |
| 1969 - 1970 | 23,12 m ³ /s le 27 Octobre | 1970 |
| 1970 - 1971 | 17,37 m ³ /s le 24 Mars | 1971 |
| 1971 - 1972 | 24,03 m ³ /s le 10 Décembre | 1972 |
| 1972 - 1973 | 46,81 m ³ /s le 27 Mars | 1973 |
| 1973 - 1974 | 33,30 m ³ /s le 23 Février | 1974 |
| 1974 - 1975 | 67,07 m ³ /s le 7 Mars | 1975 |

GÉOLOGIE

— / —

Les chiffres donnés pour l'Ind. Rides ont été obtenus à partir de mesures d'échelonnage calculées, ils sont publiés avec toutes réserves.

Les formules de calcul ne démontre pas nous avons utilisées, suffisent de fournir des valeurs ; mais il est important de avoir plusieurs autres équations in-situ pour vérifier telle ou telle formule, que le choix d'une formule plutôt qu'une autre est uniquement guidé par la comparaison des chiffres qu'elle donne, avec d'autres résultats obtenus sur des bassins versants de superficie aussi grande mais qui sont souvent très loin géographiquement, et qui se présentent qu'un minimum de ressemblance géologique, topographique, d'orientation et d'âge.

BIBLIOGRAPHIE

---CéCile---

- 1 - Analyse comparative sur l'hydrologie du Secteur Nord-Est.
H. KALARI et J. DULMBERT.
D.R.E. Novembre 1974.
- 2 - Gued Lahou - Etude hydrologique
Groupe R.R.R - Environnement des Grandes Terres
ST - ADRIAS -
PÉRIODE 1963-...
- 3 - Réseau de l'aquifère dans les réservoirs de
6 barrages.
Campagne de mesure 1973
Groupe - Quartier - G.R.R.T.O.M - D.R.E.

FIM

64